

## ИССЛЕДОВАНИЕ ПРОЦЕССА ОКИСЛЕНИЯ ЭЛЕКТРОВЗРЫВНОГО НАНОПОРОШКА ВОЛЬФРАМА В ВОЗДУХЕ

А.А. Громов, А.П. Ильин, В.И. Верещагин

Томский политехнический университет

E-mail: gromov@tpu.ru

*Исследован процесс пассивирования и продукты последующего окисления в воздухе нанопорошка вольфрама ( $a_s \sim 100$  нм), полученного методом электрического взрыва проводников. Показано, что окисление наночастиц вольфрама в воздухе происходит в несколько последовательных стадий с участием низшего оксида  $W_2O$ . Продукты окисления нанопорошка  $W$  изучены с помощью электронной микроскопии, рентгеновской фотоэлектронной спектроскопии, рентгеновской дифракции, дифференциально-термического анализа, просвечивающей микроскопии высокого разрешения. Предложена схема химических процессов окисления наночастиц вольфрама в воздухе.*

### Введение

Известно, что металлические нанопорошки (НП), полученные с помощью электрического взрыва проводников (ЭВП), имеют повышенную химическую активность в сравнении с порошками, синтезированными в равновесных условиях (испарение-конденсация, механохимический синтез, золь-гель методы и т.д.) [1]. Повышенная реакционная способность электровзрывных НП металлов связана с их метастабильностью и энергонасыщенностью: образование НП  $W$  при ЭВП происходит в сильно неравновесных условиях. ЭВП характеризуется длительностью процесса взрыва 1...10 мкс, температурой плазмы  $\sim 10^4$  К, средней скоростью охлаждения частиц до  $10^6$  К/сек и удельной введенной в проводник энергией  $E/E_s \sim 1$  МДж/кг ( $E/E_s$  — отношение электрической энергии разрядного контура к энергии сублимации проводника) [2]. Электровзрывные металлические НП обладают повышенным содержанием металла в частицах [3]. Причины этого явления и механизм окисления частиц электровзрывного НП  $W$  являются основным предметом исследования данной работы. Формирование оксидных пленок на частицах происходит в процессе пассивации НП  $W$  медленным окислением воздухом непосредственно после их получения во взрывной камере. Литературные данные, касающиеся образования покрытий на поверхности наночастиц при пассивации, посвящены, в основном, активным металлам Al, Ti и Fe [4–6], в то же время механизм окисления компактного  $W$  изучен достаточно подробно [7–9]. В данной работе проанализированы особенности пассивации и последующего окисления электровзрывного НП  $W$  в воздухе.

### Эксперимент

Получение НП  $W$  осуществлялось методом ЭВП с использованием установки УДП-4Г, сконструированной в НИИ высоких напряжений Томского политехнического университета и предназначенной для полупромышленного получения нанопорошков металлов. Характеристики установки

УДП-4Г приведены в работе [10]. НП  $W$  был получен в аргоне ( $P=1,5$  атм), при этом удельная введенная в проводник энергия составляла  $E/E_s=1,1$ . Напряжение, емкость и индуктивность разрядного контура составляли 22 кВ, 2,2 мкФ и 0,35 мкГн соответственно. Длина взрываемого отрезка проводника 37 мм, а его диаметр 0,2 мм. Частота взрывных импульсов 0,8 Гц.

Пассивация НП  $W$ . Непосредственно после получения порошков в установке УДП-4Г, стальной контейнер с собранным НП  $W$  (массой  $\sim 100$  г после  $\sim 970$  взрывов) был помещен в герметичный бокс, заполненный аргонном (концентрация воздуха  $\sim 0,1$  об. %) при комнатной температуре. Порошок непрерывно перемешивался в течение 25 ч, при этом концентрация воздуха в пассивационном боксе поддерживалась постоянной.

Анализ пассивированного порошка. Дифференциально-термический анализ (ДТА) порошков осуществлялся с помощью дериватографа Paulik-Paulik-Erdey "Q-1500 D" (Венгрия) до 1300 °С в атмосфере воздуха. Рентгенофазовый анализ (РФА) образцов проводился с использованием  $CuK_{\alpha}$ -излучения на дифрактометре Rigaku "MAX-B" (Япония) в диапазоне углов  $2\theta = 30...120^\circ$ . График распределения частиц порошка по размерам был получен с помощью анализатора Malvern Instruments "Mastersizer 2000" (Великобритания). Порошки предварительно суспендировались в этаноле и обрабатывались ультразвуком (200 Вт, 22 кГц) для разрушения агрегатов частиц в течение 15 мин перед проведением анализа. Просвечивающая электронная микроскопия порошков проводилась с использованием приставки для сканирующего электронного микроскопа JEOL "JSM-6500 F" (Япония). Образцы порошков предварительно приклеивались на токопроводящую фольгу, затем на порошок напылялась пленка золота. Энергия связи электронов была определена по

стандартному пику  $\text{Cl}_{1s}$  (284,5 эВ). Все результаты экспериментов были статистически обработаны.

### Обсуждение результатов

Повышенное давление аргона при получении НП приводило к его адсорбции на поверхности частиц. Адсорбированный аргон предотвращает контакт частиц и их спекание в начальный момент до разгерметизации установки для извлечения порошка. В начальный момент после получения НП W содержал ~3...4 мас. % адсорбированных газов. Хотя энтальпия образования  $\text{WO}_3$  относительно высока  $\Delta H_f(\text{WO}_3) = -836$  кДж/моль, для электровзрывного НП W не наблюдалось саморазогрева в процессе пассивирования, как это имело место в случае НП Al ( $\Delta H_f(\text{Al}_2\text{O}_3) = -837,5$  кДж/моль, что сравнимо с теплотой образования  $\text{WO}_3$ ) [3]. Наиболее вероятной причиной отсутствия саморазогрева является образование на поверхности металлических частиц оксида с пониженным содержанием кислорода и энтальпией образования и его медленное дальнейшее доокисление до высшего оксида. Длительность периода пассивации для НП W составляла ~25 ч, что в два раза меньше, чем время, необходимое для пассивации алюминиевого НП [3]. Окончание периода пассивации определялось по прекращению реакции с воздухом (отсутствие падения давления газовой смеси ( $\text{Ar}+0,1$  об. % воздух) в пассивационном боксе).

составляла 43 мас. %. Образец, имеющий удельную площадь поверхности  $S_{sp}=2,8$  м<sup>2</sup>/г, содержал следы  $\beta$ -W, а образец с самой низкой дисперсностью состоял полностью из  $\alpha$ -W. Возможная причина такого распределения  $\beta$ -W в порошках различных фракций – более высокая скорость охлаждения мелкой фракции во время взрыва и стабилизация кристаллической решетки с пониженной рентгеновской плотностью.

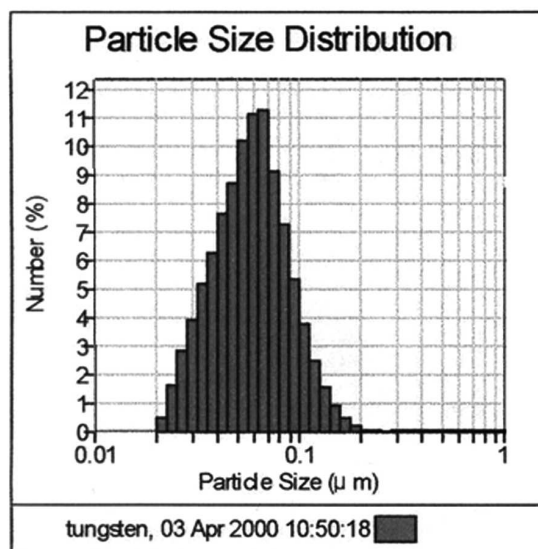


Рис. 2. Распределение частиц по размерам для НП W

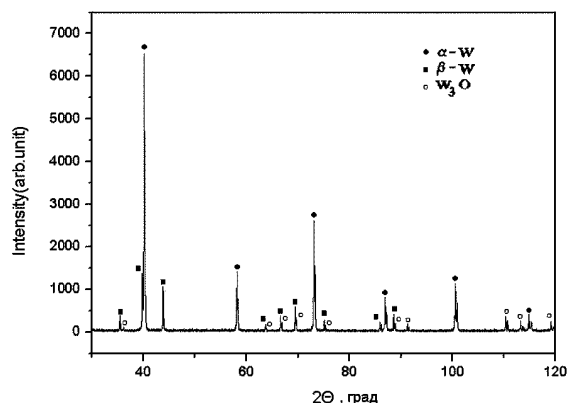


Рис. 1. Результаты РФА НП W ( $\text{CuK}\alpha$ -излучение,  $\lambda=1,54056$  нм)

По данным РФА (рис. 1), частицы пассивированного НП W содержат 3 фазы:  $\alpha$ -W,  $\beta$ -W и  $\text{W}_3\text{O}$ . Образование  $\beta$ -W является особенностью для НП W, полученного методом ЭВП.  $\beta$ -W имеет пониженную плотность (19,1 г/см<sup>3</sup>) в сравнении с  $\alpha$ -W (19,3 г/см<sup>3</sup>). В соответствии с данными Д.В. Тихонова [11], наиболее мелкая фракция электровзрывного НП W содержит более высокую концентрацию  $\beta$ -W (по данным РФА). В работе [11] НП W (образец был получен при  $E/E_s = 0,49$ ) был разделен на 3 фракции с удельной площадью поверхности  $S_{sp}=15,4$  м<sup>2</sup>/г, 2,8 м<sup>2</sup>/г и 0,7 м<sup>2</sup>/г соответственно. Концентрация  $\beta$ -W в наиболее мелкой фракции

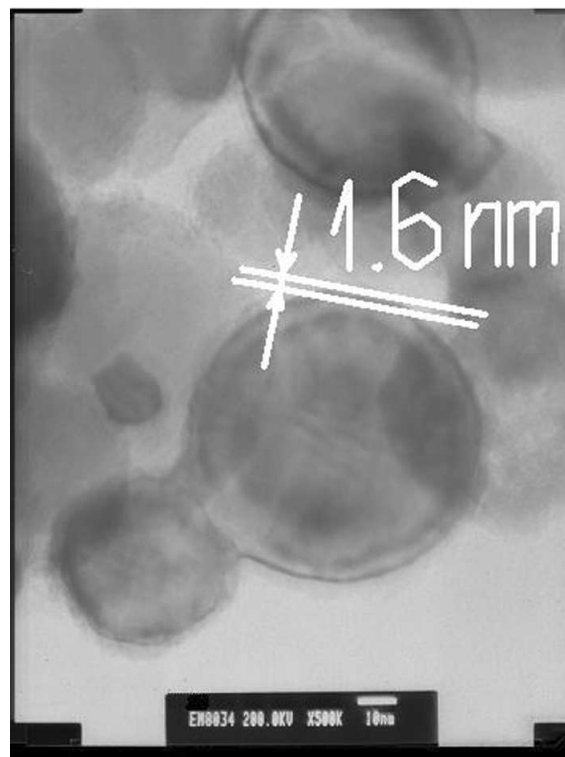


Рис. 3. Микрофотография НП W, полученная с помощью просвечивающего электронного микроскопа

Рефлексы  $W_3O$ , зафиксированные на рентгенограмме (рис. 1) принадлежат, вероятно, поверхностному пассивирующему оксидному слою. Но по данным РФЭС (анализируемая поверхность порошка  $\sim 4000 \text{ мкм}^2$ ), содержание кислорода в поверхностном слое было выше, чем для  $W_3O$  (массовое отношение  $[W]/[O]=34,5$ ). Расчет по данным РФЭС показал, что состав поверхностного слоя близок к  $WO_{1,6}$  (отношение  $[W]/[O]=7,1$ ), т.е. содержание кислорода в оксиде несколько меньше, чем для  $WO_2$  (отношение  $[W]/[O]=5,8$ ). По-видимому, хорошо окристаллизованный оксид  $W_3O$  покрывает наиболее мелкую фракцию частиц, а более крупные частицы покрыты аморфным оксидным слоем, молекулярный состав которого близок к  $WO_2$ .

Пассивированный НП W имеет относительно узкое распределение частиц по размерам в диапазоне  $0,02...0,2 \text{ мкм}$  с максимумом  $0,06 \text{ мкм}$  (рис. 2), что согласуется с фотографиями, полученными с помощью просвечивающего электронного микроскопа (рис. 3). Форма частиц НП W близка к сферической с гладкой поверхностью. Расчетная толщина оксидной оболочки составляет  $0,8 \text{ нм}$  для частиц с  $a_s \sim 79 \text{ нм}$  (вычислено исходя из значения  $S_{sp}=3,9 \text{ м}^2/\text{г}$  и содержания металлического вольфрама  $95,5 \text{ мас. \%}$  в пассивированном НП), что значительно меньше реальной толщины ( $1,6 \text{ нм}$ , рис. 3).

На рис. 4 представлены кривые ДТА и ТГ, полученные при неизотермическом нагреве НП W ( $15^\circ\text{C}/\text{мин}$ ) в воздухе до  $1300^\circ\text{C}$ . Десорбция газов (снижение массы на  $2,2 \text{ \%}$  по ТГ кривой) наблюдалась при нагревании НП W от комнатной температуры до  $280^\circ\text{C}$ . Экзотермический пик на ДТА-кривой начинается с самого начала нагревания (рис. 4). Возможно, десорбция газов сопровождается окислением, как и в случае НП Al [12]. С  $280^\circ\text{C}$  начинается первая стадия интенсивного окисления НП W и продолжается до  $360^\circ\text{C}$  (увеличение массы на кривой ТГ и экзоэффект на кривой ДТА). Среднемассовая скорость окисления образца на первой стадии интенсивного окисления по поглощению  $O_2$  составляет  $0,6 \text{ мг } O_2/\text{мин}$ . Количественный РФА позволил определить состав окисленного после 1 стадии порошка:  $\alpha\text{-W}$  ( $81,0 \text{ мас. \%}$ ) и  $W_3O$  ( $19,0 \text{ мас. \%}$ ). Эта стадия окисления соответствует реакции наиболее мелкой фракции НП W с кислородом, что согласуется с данными РФА:  $\beta\text{-W}$  полностью окисляется (рефлексы  $\beta\text{-W}$  исчезают). Вторая стадия окисления W продолжается до  $540^\circ\text{C}$  (рис. 4). Среднемассовая скорость окисления на второй стадии  $1,1 \text{ мг } O_2/\text{мин}$ . В конечных продуктах окисления до  $740^\circ\text{C}$  присутствует фаза  $WO_3$ , и не был найден металлический W. Содержание металлического W в исходных нанопорошках, вычисленное по ТГ кривой составило  $95,5 \text{ мас. \%}$ . Продукты полного окисления НП W состояли из лимонно-желтого  $WO_3$ , сублимация которого начинается при  $1020^\circ\text{C}$  (уменьшение массы по ТГ кривой). Для компактного  $WO_3$  температура сублимации ниже ( $T_{\text{subl}}=900^\circ\text{C}$ ) [7]. Плавление  $WO_3$  происходит в данном случае при значительно более низ-

кой температуре ( $1140^\circ\text{C}$ , рис. 4), чем для компактного  $WO_3$  ( $1473^\circ\text{C}$ ).

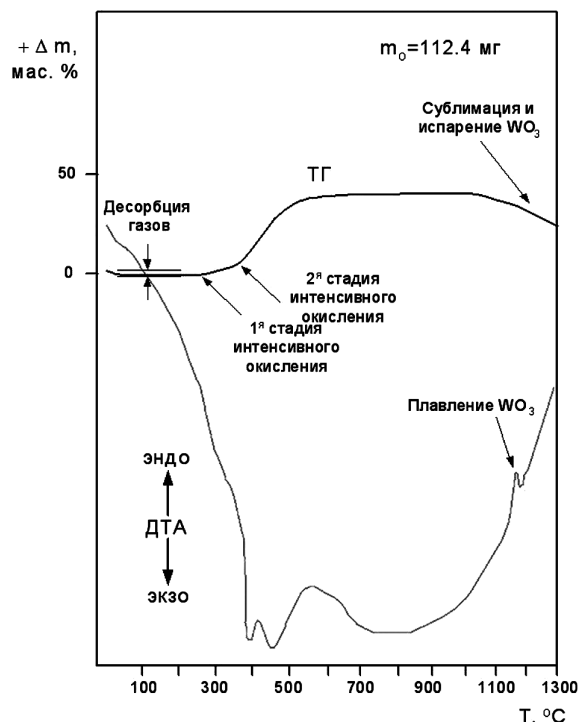


Рис. 4. Результаты ДТА НП W: скорость нагрева  $15^\circ\text{C}/\text{мин}$ , эталон  $\alpha\text{-Al}_2O_3$

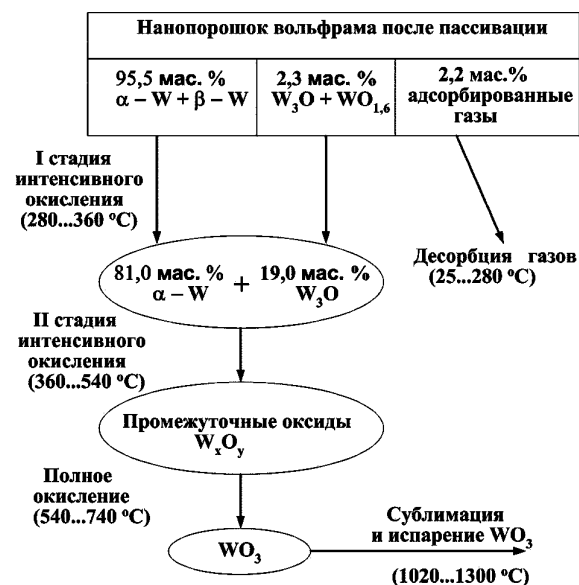


Рис. 5. Процессы НП W при нагревании в воздухе

Таким образом, химические процессы при окислении электровзрывного НП W, следующие (по данным ДТА-ТГ и РФА), рис. 5.

Для исследования термостабильности НП W к окислению влажным воздухом, что интересно с точки зрения практики, мы нагревали порошок в условиях 70 % влажности до  $60^\circ\text{C}$  и  $120^\circ\text{C}$  в течение 24 ч. В таких условиях содержание металла при

нагревании снижается: при выдержке в условиях 70 % влажности в течение 24 ч при 60 °С в порошке осталось 95,3 мас. % металлического вольфрама, а при 120 °С – 92,5 мас. %.

### Заключение

Металлические частицы НП W, полученные методом ЭВП, имеют сферическую форму, гладкую поверхность и диаметр менее 0,2 мкм. Взрыв вольфрамового проводника приводит к формиро-

ванию фазы  $\beta$ -W в наиболее мелких частицах наряду с  $\alpha$ -W. Толщина оксидной пленки на частицах НП W составляет ~2 нм. Оксидный слой НП W представляет собой фазу кристаллического W<sub>3</sub>O для наиболее мелкой фракции порошка и близок к аморфному WO<sub>2</sub> для больших частиц. НП W удерживает на своей поверхности до 4 мас. % адсорбированных газов. Температура начала интенсивного окисления на воздухе для НП W – 280 °С.

### СПИСОК ЛИТЕРАТУРЫ

1. Ilyin A., Gromov A., An V., Faubert F., de Izarra C., Espagnacq A., Brunet L. Characterization of Aluminum Powders I. Parameters of Reactivity of Aluminum Powders // *Propellants, Explosives, Pyrotechnics*. – 2002. – V. 27. – Is. 6. – P. 361–364.
2. Kwon Y.S., Jung Y.H., Yavorovsky N.A., Ilyin A.P., Kim J.S. Ultrafine metal powders by wire electrical explosion // *Scripta Mater.* – 2001. – V. 44. – P. 2247–2251.
3. Kwon Y.S., Gromov A.A., Ilyin A.P., Rim G.H. Passivation process for superfine aluminum powders obtained by electrical explosion of wires // *Appl. Surf. Sci.* – 2003. – V. 211. – Is. 1–4. – P. 57–67.
4. Жигач А.Н. и др. Синтез покрытий на поверхности ультрамелкодисперсных частиц алюминия // *Химическая физика*. – 2002. – Т. 21. – № 4. – С. 72–78.
5. Vergara L.I., Passeggi M.C.G., Mendoza S.M., Ferron Jr.J. Passivation and temperature effect on the oxidation process of titanium thin films // *Surf. Sci.* – 2002. – V. 507–510. – P. 825–831.
6. Roosendaal S.J., Bakker J.P.R., Vredenberg A.M., Habraken F.H.P.M. Passivation of iron by oxidation in H<sub>2</sub>O and O<sub>2</sub>/H<sub>2</sub>O mixtures // *Surf. Sci.* – 2001. – V. 494. – P. 197–205.
7. Agte C., Vacek I. Wolfram a Molybden. – Praha: SNTL, 1954. – 284 p.
8. Кофстад П. Высокотемпературное окисление металлов / Пер. с англ. Г.С. Петелиной и С.И. Троянова. М.: Мир, 1969. – 344 с.
9. Кубашевский О., Гопкинс Б. Окисление металлов и сплавов. – М.: Металлургия, 1965. – 265 с.
10. Ushakov V.Ya., Ilyin A.P., Nazarenko O.B., Tichonov D.V., Yablunovskii G.V. Ultrafine Powders Produced With Wire Electrical Explosion (Production and Properties) // *The First Korea-Russian Intern. Symp. on Sci. and Tech.: Proc.* – Ulsan, 1997. – P. 167–171.
11. Тихонов Д.В. Электровзрывное получение ультрадисперсных порошков сложного состава: Дис. ... канд. техн. наук. – Томск, 2000. – 202 с.
12. Ильин А.П., Яблуневский Г.В., Громов А.А. Об активности порошков алюминия // *Физика горения и взрыва*. – 2001. – Т. 37. – № 4. – С. 58–63.